

фициента экстинкции как первичной, так и вторичной, вследствие чего возрастает интенсивность дифракционных максимумов. С ростом интенсивности лазерного излучения увеличивается градиент температур на поверхности кристалла и величина неоднородных тепловых деформаций кристалла. С увеличением интенсивности лазерного излучения должна увеличиваться и интенсивность рентгеновских дифракционных максимумов.

Таким образом, впервые экспериментально показана возможность получения пучков рентгеновских лучей с управляемой лазерным воздействием интенсивностью.

## Л и т е р а т у р а

- [1] Кочарян Л.А., Сукиасян Р.Р., Борна-зян А.С., Бегларян А.Г., Гаспарян Р.А. - Изв. АН Армянской ССР, физика, 1986, т. 21, в. 6, с. 317-319.
- [2] Аристов В.В., Верещагин Г.В., Ерко А.И., Матвеева Л.А., Рошупкин Д.В. - Письма в ЖТФ, 1987, т. 13, в. 21, с. 1288-1291.
- [3] Трушин В.Н., Чупрунов Е.В., Хоклов А.Ф. - Письма в ЖТФ, 1988, т. 14, в. 4, с. 307-310.

Горьковский исследовательский  
физико-технический институт  
Горьковского государственного  
университета им. Н.И. Лобачевского

Поступило в Редакцию  
7 июня 1988 г.

Письма в ЖТФ, том 14, вып. 19

12 октября 1988 г.

## ИЗМЕРЕНИЕ КОЭФФИЦИЕНТА ДИФФУЗИИ ВЫСОКОВОЗБУЖДЕННЫХ АТОМОВ МЕТОДОМ ИОНИЗАЦИИ

В.И. Швядас, Б.П. Каулакис

Высоковозбужденные атомы (ВВА) влияют на процессы в низкотемпературной плазме, могут служить источником предионизации в разрядах высокого давления [1], участвуют в одной из операций цикла лазерного разделения изотопов [2, 3]. В настоящее время исследуются многие важные для прикладных задач свойства ВВА (сечения столкновительного перемешивания состояний, константы скоростей ионизации [4] и т.д.), однако практически отсутствуют данные по транспортным свойствам ВВА, таким как транспортные сечения и коэффициенты диффузии. Обычно определение коэффициентов диффузии возбужденных атомов основывается на регистрации поглощения и излучения возбужденных частиц (см. обзор [5]). Эти методы мало пригодны для ВВА, т.к. силы осцилляторов ВВА в опти-

ческой области малы. В настоящей работе предложен метод ионизации для определения коэффициентов диффузии, впервые определен коэффициент диффузии ВВА. Суть метода заключается в следующем.

Пусть атомы стационарно возбуждаются в тонком слое, в плоскости  $z = z_0$ . Уравнение диффузии возбужденных атомов  $N^*(z)$ , содержащее коэффициент диффузии  $D^*$ , функцию возбуждения  $\gamma \delta(z - z_0)$ , скорости ионизации  $I$  и тушения  $W$  возбужденных атомов, выглядит следующим образом:

$$D^* \frac{d^2 N^*(z)}{dz^2} + \gamma \delta(z - z_0) - (I + W) N^*(z) = 0.$$

Регистрируются ионы, образовавшиеся в результате ионизации ВВА, продифундировавших расстояние более  $R$  в одну сторону от слоя  $z = z_0$ . Нетрудно подсчитать, что количество таких ионов  $N^+$ , равное интегралу  $N^*(z)$  в пределах от  $z_0 + R$  до  $+\infty$ , помноженному на вероятность ионизации  $P_i$ , есть

$$N^+ = \frac{P_i \gamma}{2(I + W)} \exp\left(-\sqrt{\frac{I + W}{D^*}} R\right). \quad (1)$$

Коэффициент диффузии обратно пропорционален плотности пара  $n_0$ :

$$D^* = C n_0^{-1}. \quad (2)$$

Поэтому измерение зависимости  $N^+$  от  $n_0$  позволяет, при известных  $I$ ,  $W$  и  $R$ , определить  $C$  и вместе с ним  $D^*$ .

Экспериментальная установка описана в работе [6]. Объектом исследований были ВВА цезия, возбужденные в кювете, содержащей пар цезия. ВВА возбуждались оптически (переходы  $\delta^2 S \rightarrow \pi^2 P$ ) монохроматизированным светом дуговой ксеноновой лампы. Сечение луча в перетяжке (в области возбуждения) составляло  $0.5 \times 0.1 \text{ см}^2$ , а расстояние  $R$  — несколько десятых сантиметра. Ионизация ВВА цезия происходила за счет столкновений с невозбужденными атомами цезия при температуре пара  $T = 500$  К. С помощью плоских электродов и сеток в кювете создавалось постоянное электрическое поле, напряженностью порядка  $1 \text{ В см}^{-1}$ , имеющее противоположный знак для  $z > z_0 + R$  и  $z < z_0 + R$  (одна из сеток находилась в плоскости  $z = R$ ). Ионы  $Cs^+$  и  $Cs_2^+$ , которые образовывались выше этой сетки, дрейфовали к детектору ионов, а остальные ионы дрейфовали к плоскому электроду и рекомбинировали на нем.

Часть возбуждающего излучения отражалась от выходного окна кюветы и окон печи и возвращалась в область возбуждения. Сечение отраженного пучка составляло 2–3 см, что много больше  $R$ , поэтому отраженный ультрафиолет создавал по обе стороны сетки примерно по  $N_\phi^* \approx \frac{1}{2} \gamma \delta (I + W)^{-1}$  высоковозбужденных атомов цезия.

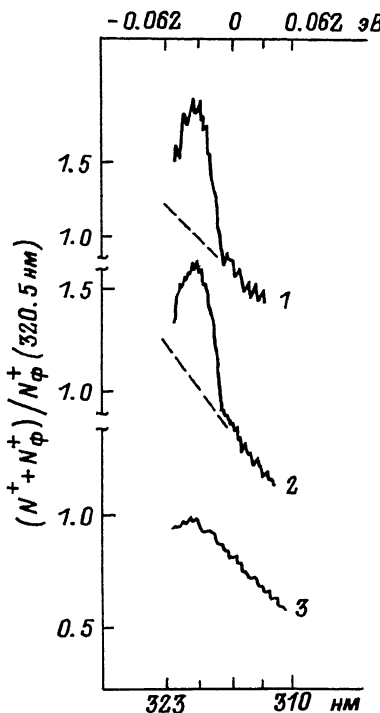


Рис. 1. Запись ионного сигнала в зависимости от длины волны или энергии электрона ВВА. (Отрицательные энергии соответствуют связанным состояниям атомов, а положительные – фотоионизации атома цезия). Плотность пара (в единицах  $10^{14} \text{ см}^{-3}$ ): 1 – 1.84, 2 – 2.06, 3 – 2.55. Запись выполнена при  $R = 0.15 \text{ см}$  и спектральной ширине возбуждения 2.5 нм. Отдельные  $n^2\rho$  уровни спектрально не разрешены.

Ионы  $N_\phi^+ = N_\phi^* P_i$  регистрировались детектором и создавали "фон".

На рис. 1 представлена запись ионного сигнала при сканировании длины волны возбуждения. Сигнал состоит из двух слагаемых: селективного  $N^+$ , имеющего максимум на длине волны 320.5 нм, и неселективного фона  $N_\phi^+$ . Отношение  $\frac{N^+}{N_\phi^+}$  уменьшается с увеличением плотности пара цезия, и при плотностях пара  $n_o > 2.5 \cdot 10^{14} \text{ см}^{-3}$  сигнал остается на уровне фона. Максимум на длине волны 320.5 нм соответствует эффективному главному квантовому числу ВВА  $n^* \approx 21$ . (При спектральной ширине 2.5 нм на длине волны 320.5 нм одно-

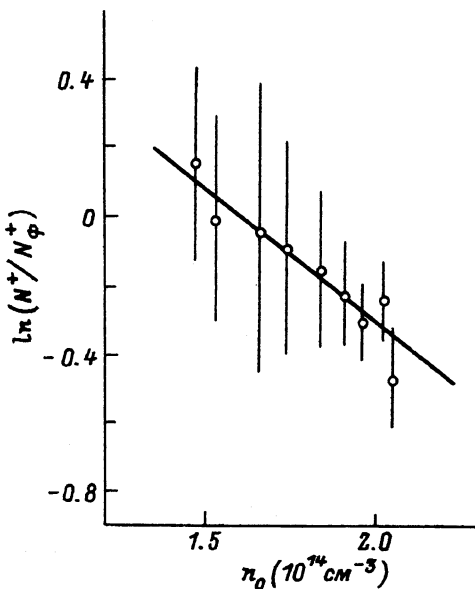


Рис. 2. Отношение  $\frac{N^+}{N_\phi^+}$  на длине волны 320.5 нм в зависимости от плотности пара цезия.  $R = 0.15$  см.

временно возбуждаются несколько  $\kappa^2\rho$  уровней  $CS$ ). Сигнал  $N^+$  нормировался на сигнал фона  $N_\phi^+$ :

$$\frac{N^+}{N_\phi^+} = \frac{\gamma}{\delta_\phi} \exp\left(-\sqrt{\frac{I+W}{D^*}} R\right). \quad (3)$$

В нашем случае  $I = Kn_o$ , где  $K$  – константа скорости столкновительной ионизации, а тушение ВВА происходит радиационным путем [6]. Учитывая соотношение (2) и то, что  $W(Kn_o)^{-1} \ll 1$  [6], из (3) получаем

$$\ln \frac{N^+}{N_\phi^+} = \ln \frac{\gamma}{\delta_\phi} - \frac{WR}{2\sqrt{KC}} - \sqrt{\frac{K}{C}} R n_o + \frac{W^2 R}{8n_o \sqrt{K^3 C}} + \dots \quad (4)$$

На рис. 2 представлена зависимость  $\ln N^+(N_\phi^+)^{-1}$  от  $n_o$ . Методом наименьших квадратов через экспериментальные точки проведена прямая. Согласно (4), ее наклон равен  $-\sqrt{\frac{K}{C}} R$ . (Последний член

в (4) вносит нелинейность менее 1%, которая ввиду ее малости не учитывалась). Константа скорости ионизации для  $n^* = 21.4$  равна  $K = (2.9 \pm 0.7) \cdot 10^{-10} \text{ см}^3 \text{ с}^{-1}$  [6], а наклон прямой на рис. 2 равен  $(0.76 \pm 0.14) \cdot 10^{-14} \text{ см}^3$ , поэтому  $C = (1.1 \pm 0.5) \cdot 10^{17} \text{ см}^{-1} \text{ с}^{-1}$ . Окончательно коэффициент диффузии ВВА цезия равен  $D^* = (1.1 \pm 0.5) \cdot 10^{17} \text{ см}^{-1} \text{ с}^{-1} n_o^{-1}$ .

В работе [7] исследовалось рассеяние ВВА лития на атомах инертных газов  $H_2$ ,  $N_2$ . Получено, что с точностью до двух сечений упругого рассеяния ВВА совпадают с сечениями упругого рассеяния иона  $Li^+$  на тех же мишениях. Поэтому можно ожидать и близость величин транспортных сечений и коэффициентов диффузии ВВА цезия и иона  $Cs^+$ . Для вычисления коэффициента диффузии воспользуемся сводными экспериментальными данными четырех работ по приведенной подвижности ионов  $Cs^+$  в паре цезия [8] и соотношением Эйнштейна между подвижностью и коэффициентом диффузии. По величинам подвижностей, представленным в [8], получаются следующие величины  $D^* n_o$  (в единицах  $10^{17} \text{ см}^{-1} \text{ с}^{-1}$ ): 1.09, 1.75, 1.83 и 1.56. Эти величины согласуются с коэффициентом  $D^* n_o = (1.1 \pm 0.5) \cdot 10^{17} \text{ см}^{-1} \text{ с}^{-1}$  для ВВА цезия, полученным в настоящей работе. Таким образом, транспортные свойства ВВА цезия с эффективным главным квантовым числом  $n^* \approx 21$  определяются транспортными свойствами кора ВВА (иона  $Cs^+$ ).

Предложенный в настоящей работе метод ионизации может быть применен и для определения коэффициентов диффузии высоковозбужденных частиц других сортов (молекул, кластеров), а также метастабильных частиц. Если столкновительная ионизация возбужденных частиц не является достаточно эффективной, для их ионизации можно использовать пучок электронов, электрическое поле или лазерное излучение [9]. Таким образом, метод ионизации представляется довольно простым и универсальным методом измерения транспортных свойств возбужденных частиц.

## Л и т е р а т у р а

- [1] Ключарев А.Н., Родичкин В.А., Семан В.Ю., Шеверев В.А. – Письма в ЖТФ, 1984, т. 10, в. 5, с. 277–280.
- [2] Карлов Н.В., Прохоров А.М. – УФН, 1976, т. 118, в. 4, с. 583–609.
- [3] Ключарев А.Н. Фотопроцессы хемионизации. – В кн.: Химия плазмы, вып. 7, М., 1980, с. 109–144.
- [4] Смирнов Б.М. – УФН, 1980, т. 131, вып. 4, с. 577–616.
- [5] Пенкин Н.П., Редько Т.П. Диффузия возбужденных атомов в собственном газе и примесях. – В кн.: Спектроскопия газоразрядной плазмы, вып. 1, Л., 1976, с. 51–80.
- [6] Svedas V. – J. Phys. B: At. Mol. Opt. Phys., 1988, v. 21, N 2, p. 301–314.
- [7] Kocher C.A., Smith A.J. – Phys. Rev. Lett., 1977, v. 39, N 24, p. 1516–1519.

- [8] Мак - Даниель И., Мэзон Э. Подвижность и диффузия ионов в газах. М., 1976. 422 с.
- [9] Летохов В.С. Нелинейные селективные фотопроцессы в атомах и молекулах. М.: 1983. 408 с.

Поступило в Редакцию  
14 июня 1988 г.

Письма в ЖТФ, том 14, вып. 19 12 октября 1988 г.

## ВЛИЯНИЕ ДАВЛЕНИЯ НА АКУСТООПТИЧЕСКИЙ ЭФФЕКТ В НЕМАТИКЕ

С.В. Пасечник, В.А. Баландин,  
В.И. Киреев

В настоящее время жидкие кристаллы рассматриваются как перспективные материалы для использования в акустооптических устройствах различного назначения [1]. Несмотря на достаточно интенсивные экспериментальные и теоретические исследования акустооптического эффекта в тонких (менее 500 мкм) нематических слоях, влияние внешних факторов на стационарные и кинетические характеристики данного эффекта изучено недостаточно полно. В частности, отсутствует информация о воздействии давления на акустооптический эффект, которая необходима для прогнозирования работы технических устройств при вариации термодинамических параметров состояния. Ниже приводятся первые экспериментальные результаты по этому вопросу.

Акустооптический эффект наблюдался в слое нематического жидкого кристалла Н-37 (смесь МББА и ЭББА в отношении 1:1) толщиной ( $h$ ) 110 мкм при возбуждении его ультразвуковыми колебаниями частотой 186 кГц в геометрии, описанной ранее [2, 3]. Воздействие ультразвуковых колебаний на слой нематика с первоначальной гомеотропной ориентацией приводило к изменению интенсивности проходящего через него света. В результате эксперимента регистрировались временные изменения  $I(t)$ , имевшие место при включении и выключении источника ультразвука в условиях вариации давления в слое нематика. Системы создания давления и регистрации интенсивности оптического сигнала описаны в работе [4].

На рис. 1 приведены экспериментальные зависимости  $I(t)$  для различных давлений ( $P$ ) при постоянстве значений других параметров, способных влиять на наблюдаемые эффекты (температуры и напряжения на пьезопреобразователе  $\mathcal{U}_\alpha$ ). При достаточно малых значениях  $\mathcal{U}_\alpha$  зависимость  $I(t)$  при включении и выключении источника ультразвука носит монотонный характер, что объясняется малостью (по сравнению с  $\pi$ ) разности фаз ( $\delta$ ) между обычно-